

V-251 アスファルト混合物の骨材粒度構成と間隙率の関係についての一解析

北海道大学工学部 正員 上島 肇

1 はしがき

重交通によるわだち損れ現象、あるいはスパイクタイヤによる摩耗など過酷な条件に対応させるべきアスファルト混合物の配合として、共通の特徴が浮上してきたように思われる。それは骨材粒径を大きくすることと、その粗骨材の配合比率を高めることである。その上で緻密さと耐久性を失なってはならないという条件が付加される。

ところで、碎石の配合比率を高めるとは机上で感ずるよりは容易ではない。その理由は、バインダーを良好に機能させるためには、適当な粒度構成によって骨材間隙を減少させ緻密化することが必要条件となるが、粗骨材比率を過度に高めることは最密条件を崩すことになり、実質的な粗骨材容積の比率は高くなければならない。その増大した空間を埋めるとしても、アスファルトはある屢厚条件以上には増大させられないので、結局粒度混合物にならざるを得ない。本報告は、この粒度構成と間隙率の関係について、種々の骨材配合の室内作成混合物データを利用して検討を行なった。

2 試料混合物

表-1に示すように、データは主としてマーシャル供試体のものであり、砂混合物にはドライコンパクション試験も適用した。容積の計算には円筒状供試体の高さの測定値によった。この方法は水中重量測定法に比べやや大きな値となる傾向があるが、用粒度の混合物にも適用できる。用いた試料数は約2500個であるが、同一条件で複数個作成することも多ないので配合には重複がある。表-2は粒度曲線の分類を累積ふるい下容積レベル毎の通過頻度で示したものである。また、アスファルト量による分類を表-3に、飽和度による分類を表-4に示す。

3 解析結果と考察

3-1 定義 一般に骨材間隙はVMAで表わされるが、VMAはフラー量で調節される面があるので次式で骨格間隙率を定義して用いる。なお、筆者は既報などでフラー容積を f として与えていたので若干値が異なる。
 骨格間隙率 = $(\alpha + \alpha_f + f) / V$ ここで、

$$\alpha: \text{空隙容積} \quad \alpha_f: \text{アスファルト容積}$$

$$f: 0.074 \text{ mm 以下の骨材容積} \quad V: \text{試料容積}$$

図-1は、VMAを2.5 mm ふるい上容積率(すなわち、碎石量)に対してプロットしたものであり、図-2は、骨格間隙率を同様にプロットしたもので、粒径の分刹点を変えて表示した。

表-1 試料の綱目法による分類

綱目方法	バインダー	個数
ドライコンパクション (BS594)	乾式	88
	湿式	69
マーシャル供試体 作成用ランマー	乾式	6
	湿式	42
	アスファルト	2332

表-2 試料の粒度曲線の通過点による分類(通過カウント数)

ふるい下容積 レベル(%)	ふるい寸法(mm)						
	0.074	0.3	0.6	2.5	5	13	20
95~100	0	116	199	491	794	2347	2537
85~95	0	3	16	20	112	69	0
75~85	19	23	51	111	547	33	0
65~75	7	14	80	164	224	64	0
55~65	2	65	99	305	283	13	0
45~55	16	55	294	443	140	5	0
35~45	28	166	465	355	168	3	0
25~35	25	378	568	294	144	2	0
15~25	48	909	493	251	107	1	0
5~15	1210	657	234	95	18	0	0
0~5	1182	151	48	8	0	0	0

表-3 試料のアスファルト量による分類

アスファルト量(%)	0	0.5~4.5	4.5~8.5	8.5~12.5	12.5~22.5
	個数	205	416	1518	314

表-4 試料の飽和度による分類

飽和度(%)	0~25	25~45	45~65	65~85	85以上
	個数	472	392	706	814

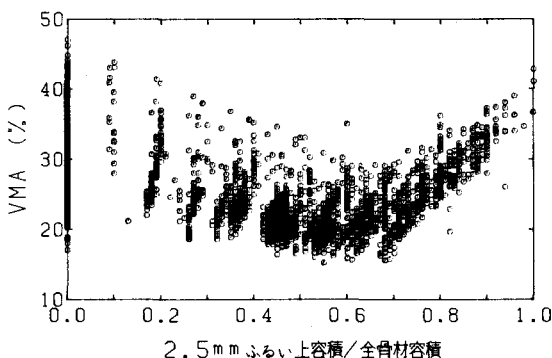


図-1 VMAと2.5mmふるい上容積比率の散布図

3-2 VMA と骨格间隙率　図-1は図-2Bに対応しており、図-1のTMAの点群はフィーラー量に応じて、図-2Bの位置から下方に移動しているので、分布の帶が拡がっている。

3-3 骨格间隙率曲線の考察　図-2Bは骨格间隙率を2.5 mmふるい上容積(碎石量)に対してプロットしたもので、極小領域をもつ凹型の帶状に分布している。極小領域はふるい上容積比率0.6付近にあり、帶幅は約6%である。これはバインダー量に換算すると約1.3倍($\frac{28\%}{22\%}$)の変動幅に相当する。

间隙率の変化について次のよう仮定する。“砂部、碎石部のそれぞれ粒度構成が一定で、両者の比率のみ変化する場合には、骨格间隙率はこの帶の曲線型で変化する”この条件下ふるい上容積比率を0.6から0.4に変化させると、骨格间隙率は4%増加する。この場合に間隙構造に変化がないと仮定すると所要バインダー量は約1.2倍($\frac{25+4\%}{25\%}$)に増大する。次にふるい上容積比率が0.6から0.7の領域では、見掛け上骨格间隙率に変化がない。この領域は、細粒分の減少による微細间隙の減少と粗大间隙の増大が拮抗している領域と考えられる。したがって、細粒分の減少に応じて最適アスファルト量も減少させなければならず、対応してアスファルト混合物の空隙も増大せざるを得ない。このような観点から、混合物のバインダー相の性質を低下させない碎石容積比率は平坦部の左端附近が限界ではあるかと思われる。

3-4 粒径の分割点による変化　図-2のAから順に今まで2分割の粒径を小さくして行くと(すなわち、観察の粒度領域をミクロ化して行くと)、骨格间隙率の極小領域は粗粒成分容積化率が大きい方向へ移り、平坦部の範囲は狭まり変化は急となる。

これは、粒度の大きい領域の粒度構成の変動はあまり骨格间隙の変動に寄与していないことと、最密条件をもつ粗粒側の粒度曲線の許容幅が狭く、また最終的な间隙率はふるい上成分の粒度分布に大きく支配されていることを意味すると思われる。

4 結論

a) バインダーの機能が良好に働くためには、碎石量の限界値は比率で0.6程度までと思われる。

b) 间隙率は粒度の粗い領域の構成比には比較的钝感である。

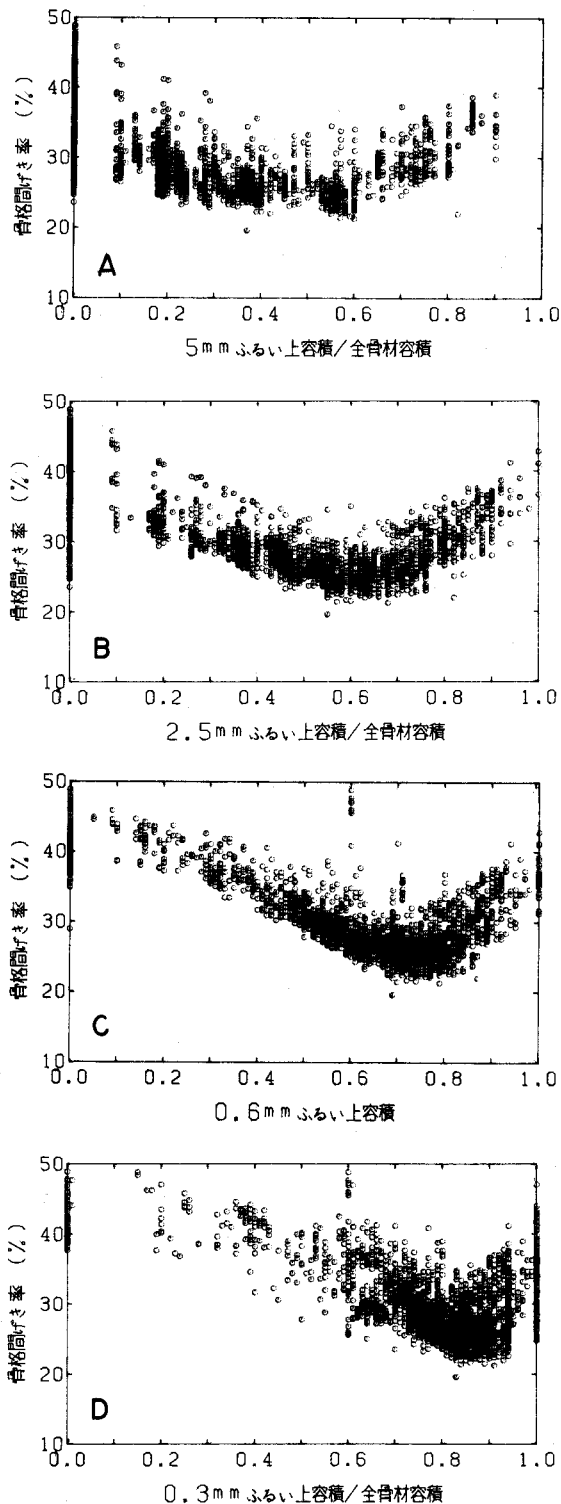


図-2 骨格间隙率と種々のふるい上容積比率との散布図